

رفتا ر دینا میکی اسکله ها تحت اثرا مو جوز لزله

میر مسعود ملک و **میر مسعود کنیا*

چکیده

هدف مقاله حاضر فرموله کردن معادلات حاکم بر اثرات دینا میکی متقابله بین آب واعفاء کم قطعیت را رگرفته در آن، و نیز ارائه روش عددی مناسبی برای حل این معادلات میباشد. مدل تحلیلی بکار رفته بصورت پایه‌ای در نظر گرفته شده که قسمتی از آن در خاک و بخشی در آب قرار گرفته است. در قسمت فوقانی پایه جرم متمرکزی قرار گرفته و از حرکت چرخشی در آن نقطه بطور کامل جلوگیری شده است تا بدین طریق اثرات صلبیت زیاد عرضه برپا یه منظور گردد. پایه متشکل از مجموعه‌ای از المانهای تیرفرض شده، و اثرات نرمی خاک (اثرات متقابله بین قسمت مدفون پایه و خاک) با در نظر گرفتن سختی دینا میکی برای پایه در معادلات وارد شده است.

نیروی هیدرودینا میکی ناشی از امواج و نیز حرکت پایه در آب، از طریق معادله موریسون تخمین زده شده است. با توجه به اینکه معادله مذبور دارای عبارت غیرخطی هم جهت با سرعت نسبی پایه و آب میباشد برای حل معادله از انتگرال گیری عددی استفاده شده است، که در آن سرعت سازه در هر مرحله با سرعت در مرحله قبل تخمین زده می‌شود. دقیقت این تقریب با مطالعات پارامتریک موردنبررسی قرار گرفته است.

با استفاده از مدل مذبور، نوسانات اسکله در مقابل امواج و نیز واکنش آن در مقابل زلزله موردنبررسی قرار گرفت. با استفاده از این مطالعه مشخص شد که حد اکثر واکنش اسکله تحت اثر امواج هنگامی تقاضا

*مربی دانشکده عمران دانشگاه صنعتی اصفهان

**استادیار دانشکده عمران دانشگاه صنعتی اصفهان

می‌افتد که فرکانس موج با فرکانس سازه برابرا شد. همچنین با بررسی چند حالت محدود، ملاحظه شدوا کنش یک اسلکه خاص تحت اثر زلزله فقط بمقادیر جزئی به وجود آب در آطراف پایه بستگی دارد و بنا بر این هنگام تحلیل این نوع اسلکه‌ها تحت اثر زلزله، در غالب حالات می‌توان از اثرات وجود آب در آطراف پایه‌ها چشم پوشی کرد.

مقدمه

در سال‌های اخیر مطالعات زیادی در زمینه‌های مختلف مربوط به سازه‌های دریا یی صورت گرفته است. بخش مهمی از این مطالعات در زمینه تعیین با رهای وارد براین سازه‌ها در اثر عوامل طبیعی، و نیز ارائه روش‌هایی برای تحلیل آنها بوده است.

از جمله سازه‌های دریا یی، سازه‌های استوار بر قابهای صفحه‌ای یا فضا یی می‌باشد که از آن جمله می‌توان به اسلکه‌ها و سکوها دریا یی اشاره کرد. آنچه در ارتباط با آنالیز این سازه‌ها اهمیت خاصی دارد تعیین با رهای ناشی از امواج و تحلیل سازه برای آن با رهای، یا بعبارت دیگر بررسی مسئله اثرات متقابل آب و سازه^۱ می‌باشد.

در سال ۱۹۵۰، موریسون و همکارانش [۱] معادله‌ای برای تخمین نیروهای واردۀ از امواج برپایه‌های عمودی کم‌قطر را ارائه کردند که خود زیر بنای مطالعات بعدی قرار گرفت. این معادله بر پردازی تجربی استوار است که تخمین این ضرایب موضوع تحقیق بسیاری از محققین دیگر نظری کولیگان و کارپنتر [۲]، [۳] و سارپ کایا [۴] قرار گرفته است. بررسی معادله در حالتیکه حرکات خود پایه نیز در نظر گرفته شود توسط افرادی چون نیومن [۵] دنبال شده است.

برای استفاده از معادله موریسون باید بتوان با استفاده از تئوری موج مناسبی مشخصات هیدرودینیکی ذرات آب را بدست آورد. تئوری موج خطی اولین با رتوسط ایری در سال ۱۸۴۵ ارائه شد و سپس توسط

1. Fluid-Structure Interaction

استوکس [۶] تئوری دقیق تری پیشنهاد گردید. آن تاریخ به بعد مقاالت بسیاری در زمینه تئوری‌های امواج و نتایج حاصل از آن نوشته شده که از آن- جمله می‌توان به کارهای لمب، ویگل و استوکراشا ره کرد [۴].

بدلیل وجود عبارت غیرخطی نیروی دراگ در معادله موریسون، رفتار دینا میکی این نوع سازه‌ها تحت اثر امواج غیرخطی است. بهمین دلیل حل مسائل دینا میکی آنها پیچیده تراز مسائل متدائل است. محققین زیادی در صدد تعیین روش‌ها بی برای حل مشکل غیرخطی بودند. معادلات حرکت بوده‌اند که از آن جمله می‌توان به روش‌های ارائه شده توسط پنزین [۷] و نیز داؤوپنزا [۸] اشاره کرد.

استفاده از روش‌های عددی برای حل معادلات ارتعاش پایه در آب

موضوع تحقیقات انجام شده توسط افرادی نظیر اندرسون و ما متسون [۹]، استوکارد [۱۰]، لیووپنزا [۱۱]، وجاین و داتا [۱۲] بوده است. برخی از این محققین از روش‌های آنالیز در حوزه زمان، برخی دیگران از آنالیز در حوزه فرکانس استفاده کرده‌اند.

در این مقاله، اثرات هیدرودینا میکی امواج بر سازه‌های استوار برپایه‌های واقع در آب، مورد بررسی قرار می‌گیرد. هدف اصلی از این مقاله ارائه یک مدل مناسب، فرموله کردن معادلات حرکت و تبیین متدولوژی حل آنهاست. در ادامه برای مشخص تر شدن جنبه‌های کاربردی تحقیق، جزئیات مدل برای آنالیز دینا میکی اسله تحت اثر امواج زلزله ارائه می‌شود. لازم به ذکر است که در موردا سکله‌ها مسائل متعددی از جمله شکست امواج، طرح اعضاء با توجه به مسائلی نظری خستگی، نحوه انتخاب موج یا زلزله طراحی، تعدد پایه‌ها و تاثیر متقابل آنها بر یکدیگر، مطرح است [۱۳] که با استفاده از متدولوژی که برای تحلیل سکله‌ها در این مقاله ارائه می‌شود می‌توان تاثیر این عوامل را در

مطالعات خاص هریک مورد بررسی قرارداد.

برای بررسی رفتار دینامیکی اسکله، هریک از پایه‌ها بصورت یک عضو خمشی عمودی در نظر گرفته شده و با استفاده از تکنیک اجزای محدود مدل می‌شود. برای تعیین نیروهای هیدرودینامیکی وارد برپایه از شکل توسعه یافته معادله موریسون (با منظورداشتن حرکات پایه) استفاده می‌شود. بعلت غیرخطی بودن این معادله، معادله دیفرانسیل حرکت نیز بصورت غیرخطی در می‌آید که برای حل آن از روش عددی شتاب متوسط ثابت همراه با یک روش مناسب برای جایگزینی قسمت غیرخطی استفاده می‌شود. بدینکمک این مدل تا شیرپریو دموج بر رفتار سازه بررسی خواهد شد. بعلاوه اثربودآب در اطراف پایه بر رفتار آن تحت اثر زلزله مورد مطالعه قرار گرفته و نتیجه گیری‌های عملی صورت خواهد گرفت.

نیروهای هیدرودینامیکی وارد برپایه‌های اسکله

مسئله اساسی که بررسی دینامیکی اسکله را از سازه‌های متداول متمایز می‌کند، وجود آب در اطراف پایه هاست. وجود آب نه تنها سبب وارد شدن نیروی هیدرودینامیکی ناشی از امواج برپایه‌ها می‌شود بلکه بر ارتعاش اسکله تحت اثر نیروهای دیگر (مثل "نیروهای حاصل از زلزله") نیز تاثیر می‌گذارد.

برای تعیین نیروهای هیدرودینامیکی وارد برپایه از معادله موریسون [۱] استفاده می‌شود. این معادله برای مواردی که نسبت قطر پایه به طول موج آن/متنازنگند قابل استفاده بوده و در حالت کلی بصورت زیرنوشته می‌شود:

$$f = \frac{1}{2} \rho C_D D |\ddot{U}_w - \dot{U}| (\dot{U}_w - \dot{U}) + \rho C_M \frac{\pi D^2}{4} \ddot{U}_w - \rho(C_M - 1) \frac{\pi D^2}{4} \ddot{U} \quad (1)$$

که در آن:

نیروی افقی وارد بر واحد طول پایه = f

جرم مخصوص آب = ρ

قطر پایه = D

ضریب اینرسی^۱ = C_M

ضریب دراگ^۲ = C_D

سرعت و شتاب افقی ذرات آب در محل محاسبه نیروها = \dot{U}_W

سرعت و شتاب افقی پایه در محل محاسبه نیروها = \dot{U}_B

لازم به تذکر است که ضرایب دراگ و اینرسی (C_D, C_M) ضرایبی

تجربی می‌باشند که به عوامل متعددی نظیر عدد رینولدز^۳ و عدد کولگان^۴ - کارپنتر^۵ و شرایط فیزیکی پایه بستگی دارند. در این مقاله مقدار این ضرایب در طول پایه ثابت فرض شده است.

همانطوری که از شکل کلی معادله موریسون استنبط می‌شود در حل معادلات حرکت دو مشکل اصلی بروز می‌کند: "اولاً"، نیروی وارد بر پایه در هر لحظه تابعی از سرعت نسبی بین آب و پایه است که مقدار آین سرعت نسبی قبل از حل معادلات حرکت مجہول است، بدین ترتیب مسئله فوق از نوع مسایل عمل متقابل^۶ می‌باشد. "ثانیاً"، با توجه به علامت قدر مطلق جهت نیروی وارد در هر لحظه بصورت تابعی غیر خطی می‌باشد. از این روست که معمولاً "برای حل معادلات حرکت این نوع سازه‌ها از روشهای عددی استفاده می‌شود.

همانطور که در معادله (۱) مشاهده می‌شود برای استفاده از معادله موریسون لازم است سرعت و شتاب ذرات آب در نقاط مختلف پایه محاسبه شوند و برای این منظور با یدا زیکی از تئوریهای موج استفاده کرد. تئوریهای مختلفی برای امواج را شده است که از آن جمله می‌توان تئوری موج خطی، تئوری امواج استوکس و تئوری موج تروکوئیدی را نام برد [۴]، [۱۳]، [۱۴]. امروزه بدلیل سهولت بیشتر و وسعت دامنه کاربرداز تئوری موج

1.Inertial Coefficient, 2.Drag Coefficient, 3.Reynolds Number

4.Keulegan-Carpenter Number, 5.Interaction

خطی بیش از سایر تئوریها استفاده می‌شود که در این مقاله نیاز به میان تئوری استفاده شده است.

در تئوری موج خطی، که تئوری موج ایری^۱ نیز نامیده می‌شود، یک موج بوسیله کمیت‌ها زیر معرفی می‌شود (شکل ۱) :

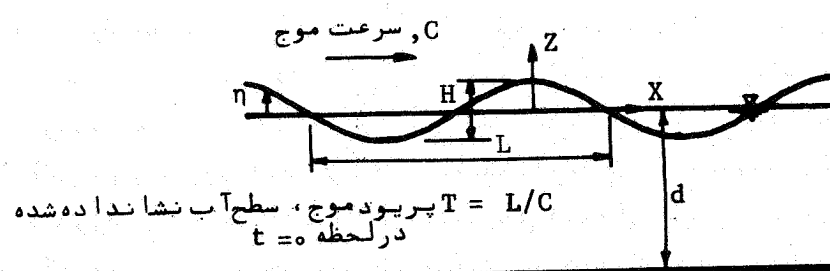
$$\text{دامنه موج} = H \quad \text{پریود موج} = T = \frac{2\pi}{\omega}$$

$$\text{طول موج} = L \quad \text{عدد موج} = K = \frac{2\pi}{L}$$

$$\text{فرکانس زاویه ای موج} = \omega \quad \text{سرعت انتشار موج} = c$$

که این کمیت‌ها بوسیله روابط زیر با یکدیگر مرتبط‌اند :

$$\omega = \frac{2\pi}{T}, \quad K = \frac{2\pi}{L}, \quad C = \frac{\omega}{K}$$



شکل ۱- سطح آب در لحظه $t = 0$ معرفی کمیت‌های مختلف موج

علاوه بر روابط فوق، مطابق تئوری موج خطی سرعت موج و طول موج نیز از یکدیگر مستقل نبوده و رابطه زیرکه رابطه پراکندگی خطی^۲ نامیده می‌شود بین آنها برقرار است [۴]، [۱۴] :

$$\omega^2 = g k \tanh (kd) \quad (2)$$

1. Airy, 2. Wave Number, 3. Linear Dispersion Relation,

ویا :

(۲)

با براین برای مشخص کردن یک موج بخصوص می‌توان از (L, d, H) ویا (T, d, H) استفاده کرد. هرگاه محورهای x و z مطابق شکل ۱ درنظر گرفته شوند، معادله سطح ζ ب مطابق تئوری موج خطی بصورت زیرنوشته می‌شود:

$$\eta = \frac{H}{2} \cos(kx - \omega t) \quad (4)$$

همچنین سرعت و شتاب افقی ذرات آب در نقاط مختلف پایه از روابط زیر تعیین می‌شوند:

$$\dot{u}_w = \frac{\pi H}{T} \frac{\cosh(k(z+d))}{\sinh(kd)} \cos(kx - \omega t) \quad (5)$$

$$\ddot{u}_w = \frac{2\pi^2 H}{T^2} \frac{\cosh(k(z+d))}{\sinh(kd)} \sin(kx - \omega t) \quad (6)$$

تا شیرا نعطاف پذیری خاک در واکنش پایه‌ها

پایه‌های اسکله‌ها غالباً "از نوع لوله‌های فولادی توخالی" است که بعد از کوبیده شدن بوسیله بتون پرمی‌شوند. همچنین گاهی از شمعهای بتونی پیش‌ساخته استفاده می‌شود. پایه‌ها تا عمق مشخصی در خاک فرو می‌روند، لذا به علت انعطاف پذیری خاک لازم است در تحلیل اسکله اثرات دینا میکی قسمت مدفون پایه‌ها و خاک اطراف آن در محاسبات منظور شود، ویا به عبارت ساده تر لازم است سختی فوندانسیون (که در این حالت متشکل از شمعهای مجزا است) در نظر گرفته شود.

برای این منظور می‌توان از روابط تقریبی بدست آمده برای سختی و استهلاک شمعهای در خاک استفاده کردد. در این مقاله از روابط پیشنهاد شده توسط بلینی [۱۵] استفاده شده است.

منشاء استهلاک در رتعاش شمعهای وجود استهلاک داخلی در جسم

شمع و خاک و نیز تشعشع انرژی حاصل از ارتعاش شمع است. معمولاً سه عامل اخیراً زسهم مربوط به استهلاک داخلی بیشتر است ولذا در این مقاله از استهلاک داخلی خاک و شمع صرفنظر شده است. در اینصورت می‌توان با استفاده از روابط پیشنهاد شده توسط بلینی [۵]، ما تریپن‌های سختگی و استهلاک شمع متناظر با درجه آزادی انتقالی و دورانی را بصورت زیر نوشت:

$$\begin{bmatrix} K \\ C \end{bmatrix} = \begin{bmatrix} k_{xx} & k_{x\theta} \\ k_{\theta x} & k_{\theta\theta} \end{bmatrix} \quad (7)$$

$$\begin{bmatrix} K \\ C \end{bmatrix} = \begin{bmatrix} c_{xx} & c_{x\theta} \\ c_{\theta x} & c_{\theta\theta} \end{bmatrix} \quad (8)$$

که در آن:

$$k_{xx} = 2 \frac{E I}{R^3} \left(\frac{E_s}{E_p} \right) . 75 \quad (9)$$

$$k_{x\theta} = -1.2 \frac{E I}{R^2} \left(\frac{E_s}{E_p} \right) . 5 \quad (10)$$

$$k_{\theta\theta} = 1.6 \frac{E I}{R} \left(\frac{E_s}{E_p} \right) . 25 \quad (11)$$

$$c_{xx} = \frac{2R}{V_s} k_{xx} \quad (12)$$

$$c_{x\theta} = \frac{1.5R}{V_s} k_{x\theta} \quad (13)$$

$$c_{\theta\theta} = \frac{5R}{V_s} k_{\theta\theta} \quad (14)$$

رفتا ردينما ميکي اسله ها ...

۳۵

در اين روابط E_p مدول الاستيسیته شمع، E_s مدول الاستيسیته خاک، I ممان اینرسی مقطع شمع، R شعاع شمع و v_s سرعت امواج برشی در خاک است که با روابط زير محا سبه ميشود:

$$v_s = \frac{\sqrt{G_s}}{\sqrt{\rho_s}} \quad (15)$$

$$G_s = \frac{E_s}{2(1+v_s)} \quad (16)$$

در اين روابط v_s و v بترتيب دانسيته جرمی و ضریب پواسون خاک است. بنابراین برای واردکردن اثرات دینما میکی شمع و خاک اطراف آن در ارتعاش پایه کافیست مقاومت فوق به اعضا متناظر در ماتریس های سختی و استهلاک پایه افزوده شوند (شکل ۲).

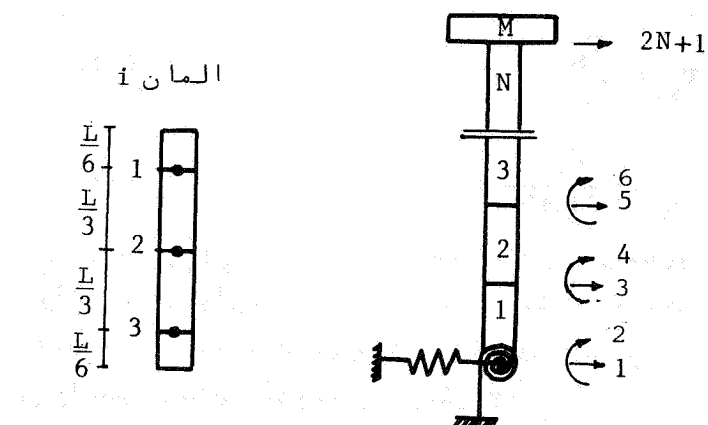
فرموله کردن معادلات حرکت و حل آنها

هدف اصلی در اين مقاله بررسی ارتعاشات اسله های استوار بر شمع است. برای اين منظور و نیز برای کاهش حجم محاسبات تنها یکی از پایه های اسله همراه با جرم متمرکزی در آنها آن، که معرف سهم هر پایه از جرم کل عرضه است، در نظر گرفته شد. اين پایه برروی فنرها يكی که معرف سختی و استهلاک فونداسيون است و مقدار آنها از روابط ۹ تا ۱۴ بدست می آيد قرارداده شد. به علاوه با توجه به سختی زیاد عرضه و صرف نظر کردن از تغییر طول پایه ها، دوران پایه در محل عرضه تقریباً صفر است. شکل ۲ این مدل تحلیلی را نشان می دهد. این مدل با استفاده از روش اجزای محدود به مجموعه ای از لامان های تیربا جرم و سختی گسترده تقسیم شده معادلات حرکت آن در آن مقاله را به شده است.

از آنجاکه معادلات حرکت بصورت غیرخطی می باشد، برای حل مسئله نمی توان از روش اجتماع گامها استفاده کرد. در این حال لازم است روش های عددی قدم به قدم مورد استفاده قرار گیرد، بنابراین

1. Mode Superposition

با یادداشتن استهلاک کل سازه بدست آید. در این مقاله برای تشکیل ما تریس استهلاک از روش ریلی [۱۶]، [۱۷] استفاده شده است.



شکل ۲ - مدل تحلیلی برای بررسی رتاعاش اسکله

هما نظریه قبل "توضیح داده شد، برای حل معادلات حرکت از روش شتاب متوسط ثابت استفاده شده است. برای حذف عبارت غیرخطی در نیروهای وارده، لازم بوده است تخمینی از سرعت دستگاه در هر لحظه گرفته شود. در این مقاله برای تخمین این مقدار از سرعت دستگاه در لحظه قبل استفاده شده و با توجه به کوتاه بودن فواصل زمانی بین لحظات مختلف که معادلات در آن زمانها حل می شود این تقریب با دقت مناسب جوابگویی و نتایج بدست آمده (که در آدامه را به خواهد داشت) این موضوع را تأثیرگذرا است.

معادله تریسی حرکت برای دستگاه چند درجه آزاد (مدل نسان داده شده در شکل ۲) به صورت زیرنوشته می شود:

$$\ddot{M}\ddot{U} + C\dot{U} + kU = R(t) \quad (17)$$

رفتار دینامیکی اسکله‌ها ...

۳۷

که در آن \ddot{U}_i و $\ddot{\gamma}_i$ به ترتیب ماتریس‌های سختی، جرم و استهلاک پایه، و R_i^T و \ddot{U}_i بترتیب بردارهای تغییرمکان، سرعت و شتاب در درجات آزادی دستگاه ارتعاشی است.

برای تعیین بردار نیروهای گره‌ای، (t) ، لازماً است نیروهای وارد بر المان‌های پایه بددست آید. برای تعیین نیروهای وارد بر هر المان i ، (t) ، روی المان سه نقطه بفواصل $\frac{L}{2}$ ، $\frac{L}{3}$ ، $\frac{5L}{6}$ (با طول المان) ازابتدا (یا انتهای) در تظری گرفته شده و با استفاده از معادله موریسون مقدار نیروی وارد بروآ حد طول، در هر یک از این نقاط بددست آمد و برای محدوده‌ای به اندازه $\frac{L}{6}$ از بالا و پائین این نقاط نیروی وارد یکنواخت فرض شده است. برای چنین محاسبه‌ای نیاز به سرعت و شتاب نقاط مذکور می‌باشد. در صورتی که \ddot{U}_i ، $\ddot{\gamma}_i$ ، R_i^T به ترتیب بردارهای تغییرمکان، سرعت و شتاب این نقاط باشند، می‌توان نوشت [۱۸] :

$$\begin{aligned} \ddot{U}_i &= T_i^T U_i \\ \dot{\ddot{U}}_i &= T_i^T \dot{U}_i \\ \therefore \ddot{\gamma}_i &= T_i^T \ddot{U}_i \end{aligned} \quad (18)$$

که در آن :

$$T_i^T = \begin{bmatrix} \frac{25}{27} & \frac{25L}{216} & \frac{2}{27} & -\frac{5L}{216} \\ \frac{1}{2} & \frac{L}{8} & \frac{1}{2} & -\frac{L}{8} \\ \frac{2}{27} & \frac{5L}{216} & \frac{25}{27} & -\frac{25L}{216} \end{bmatrix} \quad (19)$$

و در صورتی که بردار نیروی هیدرودینامیکی المان در سه نقطه فوق الذکر باشد، نیروهای معادل در درجات آزادی المان با رابطه زیر بیان می‌شود:

$$R_i^T = T_i^T F_i \quad (20)$$

بنابراین با استفاده از معادله موریسون (را بطه ۱) و روابط فوق بردار نیروهای (t) برای المان i در حالت کلی بصورت زیر بدست می‌آید [۱۸]:

$$R_i = R_{IN} - R_{AD} + R_{DR} \quad (21)$$

که در آن:

$$R_{IN} = \frac{L}{3} \frac{\rho \pi D^2}{4} C_M T \dot{U}_{wi} \quad (22)$$

$$R_{AD} = (C_M - 1) \frac{\rho \pi D^2}{4} \frac{L}{3} T \dot{T} \dot{U}_i \quad (23)$$

$$R_{DR} = \frac{\rho D C_D}{2} \frac{L}{3} T \dot{U}_{wi} - T \dot{U}_i \quad (24)$$

در روابط فوق بردارهای \dot{U}_{wi} ، سرعت و شتاب ذرات t در سه نقطه فوق الذکر می‌باشد که مقدار آنها با استفاده از تئوری موج خطی تعیین می‌شود (روابط ۵ و ۶). بردار (t) از سوارکردن بردارهای (t) برای المان‌های مختلف پا به بدست می‌آید.

با استفاده از روش شتاب ثابت متوسط، معادله بازگشتی زیر را جواهای لحظه (t) بر حسب لحظه قبلی (t_{i+1}) در معادله ۱۷ حاصل می‌شود:

$$\begin{aligned} \ddot{U}(t_{i+1}) &= (k_{CM})^{-1} [(I + CM) \dot{U}(t_i) + (-\frac{1}{2} CM + I) \dot{U}(t_i) \Delta t + \\ &\quad \frac{\Delta t}{2} FF(t_i) + \frac{\Delta t}{2} FM R(t_{i+1})] \end{aligned} \quad (25)$$

$$\dot{U}(t_{i+1}) = (I + CM)^{-1} [\dot{U}(t_i) - r F(t_i) + FM R(t_{i+1}) - k_M U(t_{i+1})] \quad (26)$$

ماتریس‌های بکاررفته در روابط فوق عبارتند از:

رفتا زدینا میکی اسکله‌ها ...

۳۹

$$\begin{aligned}
 \dot{\mathbf{x}}_{CM} &= \frac{1}{2} M'^{-1} C \Delta t \\
 \dot{\mathbf{x}}_{KM} &= \frac{1}{2} M'^{-1} K \Delta t \\
 \dot{\mathbf{x}}_{FM} &= \frac{1}{2} M'^{-1} \Delta t \\
 \dot{\mathbf{x}}_{FF} &= \frac{1}{2} M'^{-1} (C\dot{\mathbf{U}} + K\mathbf{U} - R) \Delta t \\
 \mathbf{K}_{CM} &= KM \frac{\Delta t}{2} + I + CM
 \end{aligned} \tag{۲۷}$$

که در آنها ما تریس مجموع ما تریس جرم (M') و جرم افزوده شده بوده و از رابطه زیر تعیین می‌شود:

$$M' = \frac{M + (CM - I)}{4} \frac{\rho \pi D^2}{3} \frac{L}{\Delta t} T^T T \tag{۲۸}$$

در مواردی که بررسی اثرات زلزله مورد نظر باشد می‌توان نشان داد که کافیست در هر لحظه بردازیزیر به بردازیزیر و های وارد بر درجات آزادی موردنظر (R) اضافه شود [۱۸]:

$$\mathbf{F} = C \frac{L}{\Delta t} \dot{\mathbf{U}}_g(t) + K \frac{L}{\Delta t} \mathbf{U}_g(t) \tag{۲۹}$$

که در آن $(\dot{\mathbf{U}}_g(t)$ به ترتیب تغییر مکان و سرعت زمین است و بردازیزیر نیز عبارت است از:

$$\mathbf{L} = [1, 0, 1, 0, \dots, 1, 0]^T \tag{۳۰}$$

نتایج حاصل از تحلیل زدینا میکی برآساس مطالعه تئوریک فوق، یک برنامه کامپیوتروی تدوین شده با استفاده از آنواکنش یک اسکله مشخص تحت اثرا موافق مختلف و زلزله مورد بررسی قرار گرفت. در این بخش نتایج حاصل را راهنمایی شود.

اسکله انتخاب شده دارای مشخصات زیراست:

پایه‌ها از لوله‌های فولادی توخالی با قطر خارجی ۳۵۰ میلیمتر و ضخامت

جداره ۱۲ میلیمتر، طول پایه‌ها ۱۵ متر، ارتفاع آب ۱۳ متر، جرمی از عرضه که توسط هریک از پایه‌ها تحمل می‌شود ۴۳۹۲۰ کیلوگرم، ضریب اینرسی (M_s) برابر با ۲، ضریب دراگ (C_d) برابر واحد، ضریب استهلاک داخلی سازه در گام‌های اول و دوم مساوی با ۰.۵%.

مشخصات خاک برای این مثال بصورت زیر در نظر گرفته شد:
سرعت امواج برشی در خاک (v) برابر با ۱۰۰ متر بر ثانیه، دانسیت خاک (ρ_s) برابر با ۱۷۲۰ کیلوگرم بر متر مکعب و ضریب پواسون خاک (ν_s) مساوی ۰.۴.

چون در این مطالعه از روش اجزای محدود استفاده شده است، لازم بود که ابتدا همگرایی جوابها با فرایش تعداد المانها کنترل شود. این موضوع در مثال‌های متعددی بررسی شد. مثلاً برای حالتی که پریود موج ۸ ثانیه و دامنه موج ۳ متر باشد و با مشخصاتی که قبلًاً برای اسکله و خاک بیان شد، نتایج حاصل در جدول ۱ آورده شده است. همان‌طوری که در ستونهای چهارم و پنجم جدول مشاهده می‌شود، همگرایی جوابها با افزایش تعداد المانها کاملاً مشخص است.

جدول ۱ - کنترل همگرایی جوابها با افزایش تعداد المانهای بکار رفته

حالت	تعداد المانها	طول المانها (متر)	حداکثر تغییر مکان پایه عرضه (سانتیمتر)	حداکثر تغییر مکان پایه در سطح آب (سانتیمتر)
I	۲	۱۳۰۲	۳/۴۷۱	۳/۵۸۹
II	۳	۲×۶/۵۰۲	۳/۵۳۱	۳/۶۵۴
III	۴	۳×۴/۲۳۰۲	۳/۵۴۳	۳/۶۶۶
IV	۵	۴×۳/۲۵۰۲	۳/۵۴۷	۳/۶۷۰

همچنین به دلیل استفاده از روش عددی و نیز تقریباً تبکار رفته در این روش، یعنی جایگزینی سرعت هر لحظه با سرعت لحظه قبل (برای حذف جمله غیرخطی)، لازم بود دقت و همگرا بی جوابها، بازای کاهش فواصل زمانی (Δt) نیز بررسی شود. مشخصات اصلی سازه و موج نظریه را قبل در نظر گرفته شده و برای فواصل زمانی متفاوت Δt ، آنالیز دینامیکی انجام گرفت. شکل منحنی نوسان حاصل در تما می‌حالات تقریباً "یکسان و مقدار تغییر مکان حد اکثر عرضه مطابق جدول ۲ بود. لازم به ذکر است که با مشخصات یا دشده، پریودگام اول ارتعاش سازه (T_1) برابر $4/28$ ثانیه بوده است.

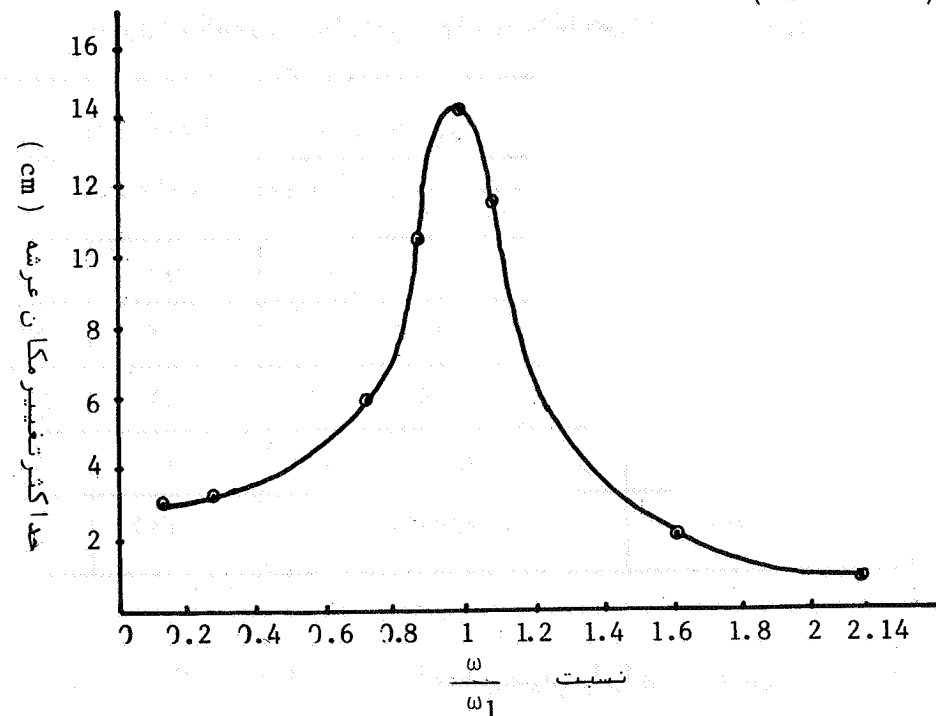
جدول ۲- کنترل همگرا بی جوابها با کاهش فواصل زمانی Δt

حداکثر تغییر مکان عرضه (سانتیمتر)	Δt پریودگام اول ارتعاش سازه (T_1)	فواصل زمانی (ثانیه) Δt	حالت
۳/۹۹۷	۰/۲	۰/۸	I
۳/۷۳۰	۰/۱	۰/۴	II
۳/۵۹۸	۰/۰۵	۰/۲	III
۳/۵۹۳	۰/۰۲۵	۰/۱	IV
۳/۵۹۳	۰/۰۱۲۵	۰/۰۵	V

هما نظریه از جدول فوق مشاهده می‌شود به ازای مقادیر $T_1 = ۰/۰۵$ و $\Delta t = ۰/۰۲$ نظریه از جدول فوق مشاهده می‌شود به ازای مقادیر $T_1 = ۰/۰۵$ و $\Delta t = ۰/۰۱۲۵$.

جوابها تقریباً همگرا شده و مستقل از فاصله زمانی است. به ازای $T_1 = ۰/۰۵$ خطای در حدود ۴٪ وجود دارد که قابل اغماض است.

بنابراین شرط $\frac{\Delta t}{T_1} \ll 1$ که برای تضمین دقت کافی در روش شتاب ثابت متوسط ذکر شده است، برای این نوع مطالعات هم مناسب بمنظور می‌رسد. بررسی رفتار دینامیکی اسکله تحت اثر امواج با پریودهای مختلف بخشی از این مطالعه بوده است. با مشخصاتی که قبلاً ذکر شد کوچکترین فرکانس زاویه‌ای طبیعی برای مدل بکار رفته (ω_1) مساوی ۱/۴۶۶ می‌باشد. برای بررسی اثرات پریود موج بروآکنش، رادیان بر ثانیه بدست ۲ می‌باشد. برای این تغییرات از مقدار حد اکثری در حوالی نسبت واحد می‌باشد (حال تشدید).

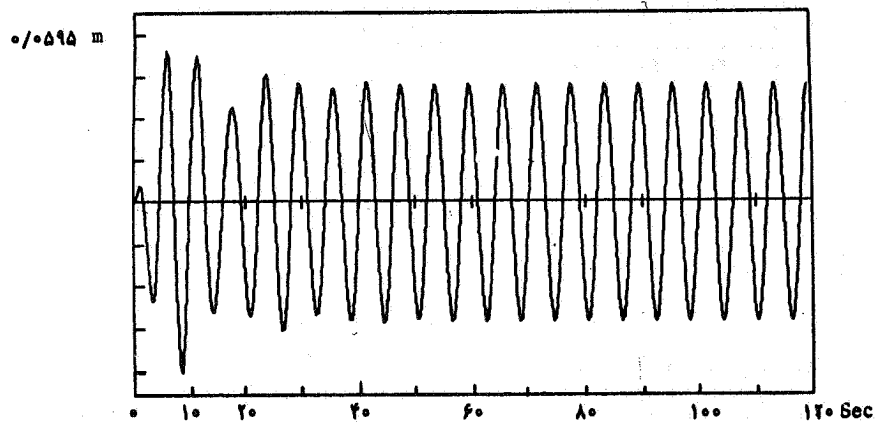


شکل ۳- منحنی تغییرات دامنه نوسان بر حسب تغییرات پریود موج

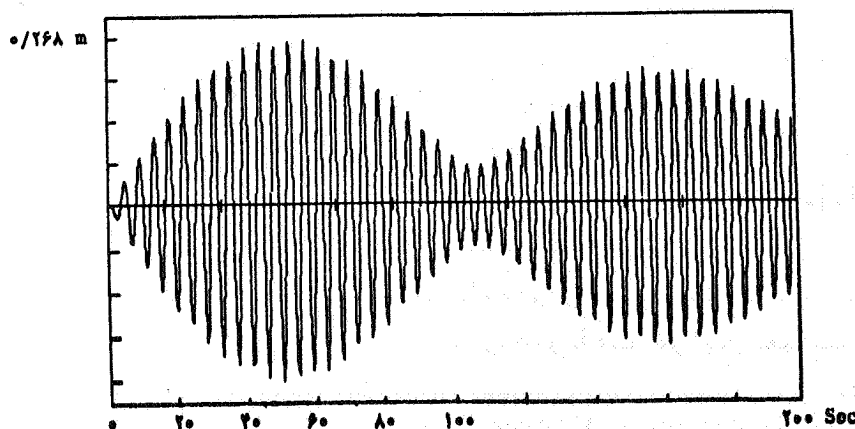
رفتار دینامیکی اسکله‌ها ...

۴۳

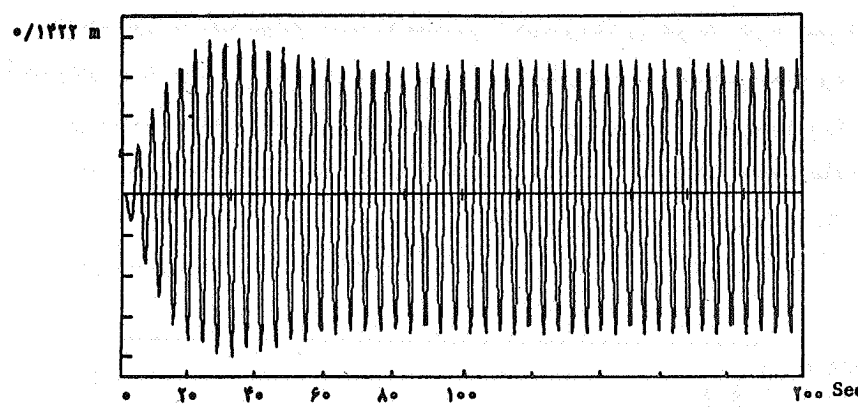
همچنین جالب توجه است که منحنی تغییر مکان عرشه در حالت تشدید تا حدودی متفاوت از سایر حالات است. در شکل ۴-الف منحنی تغییر مکان عرشه برای پریود موج عثمانیه و در اشکال ۴-ب و ۴-ج برای پریود موج ۲۸ ثانیه (حال تشدید) و نسبت های استهلاک داخلی صفر و ۵ درصد ملاحظه می شود. تاثیر استهلاک داخلی سازه بر منحنی نوسان در حالت تشدید در اشکال مذبور دیده می شود.



الف - پریود موج عثمانیه



ب - پریود موج ۲۸/۲۸ ثانیه (ξ=۰)

ج - پریود موج ۲۸/۰۵ ثانیه ($\xi = 0/05$)

شکل ۴- منحنی تغییر مکان عرضه بر حسب زمان برای پریود موجهای محسوس

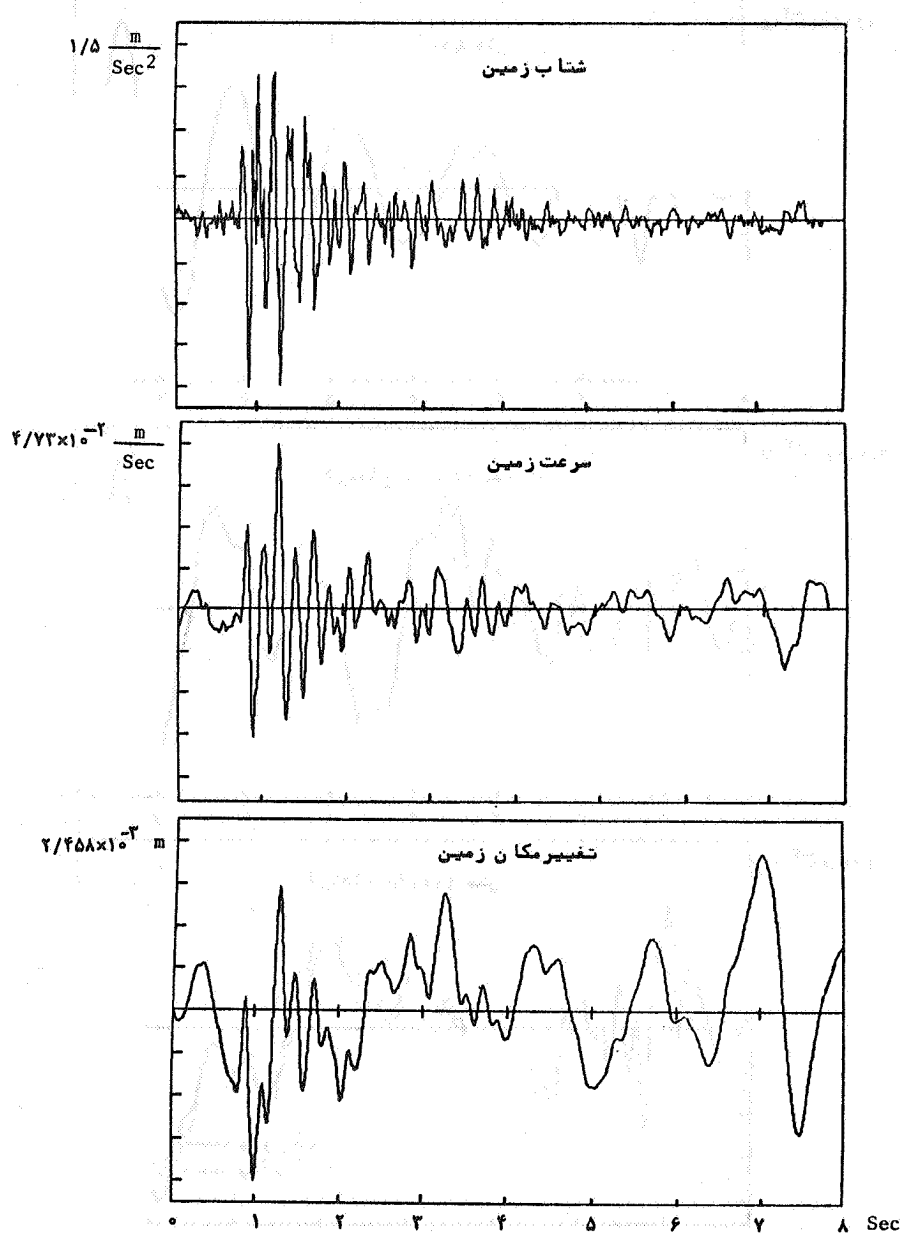
برای بررسی رفتار دینامیکی اسکله تحت اثر زلزله، فرض شد که پایه در محل کف بصورت گیردا رباشد، بعابر ت دیگر از اثرات متقابل خاک و سازه (تا ثیروفتا ردينما میکي پي بر رفتار سازه) صرف نظر شد.

جهت بررسی اثرات زلزله از رکورد کوتاه مدتی مربوط به زلزله الاصنام (الجزایر) استفاده شد [۱۹] که منحنی های شتاب، سرعت و تغییر مکان زمین برای این زلزله بخصوص در شکل ۵ نشان داده شده است. اثرات زلزله برای اسکله مذکور و با ارتفاع های ۸، ۱۲، ۱۵ متر در دو حالت مختلف با آب وجود آب در اطراف پایه بررسی شد و منحنی های نوسان عرضه در شکل ۶ وردیده است. همانطوری که در شکل ۶ ملاحظه می شود هرگاه طول پایه کوتاه باشد اثرات وجود آب اطراف پایه در ارتفاع اسکله ناچیز است، لیکن با افزایش ارتفاع این اثرات بیشتر شده و باعث افزایش تغییر

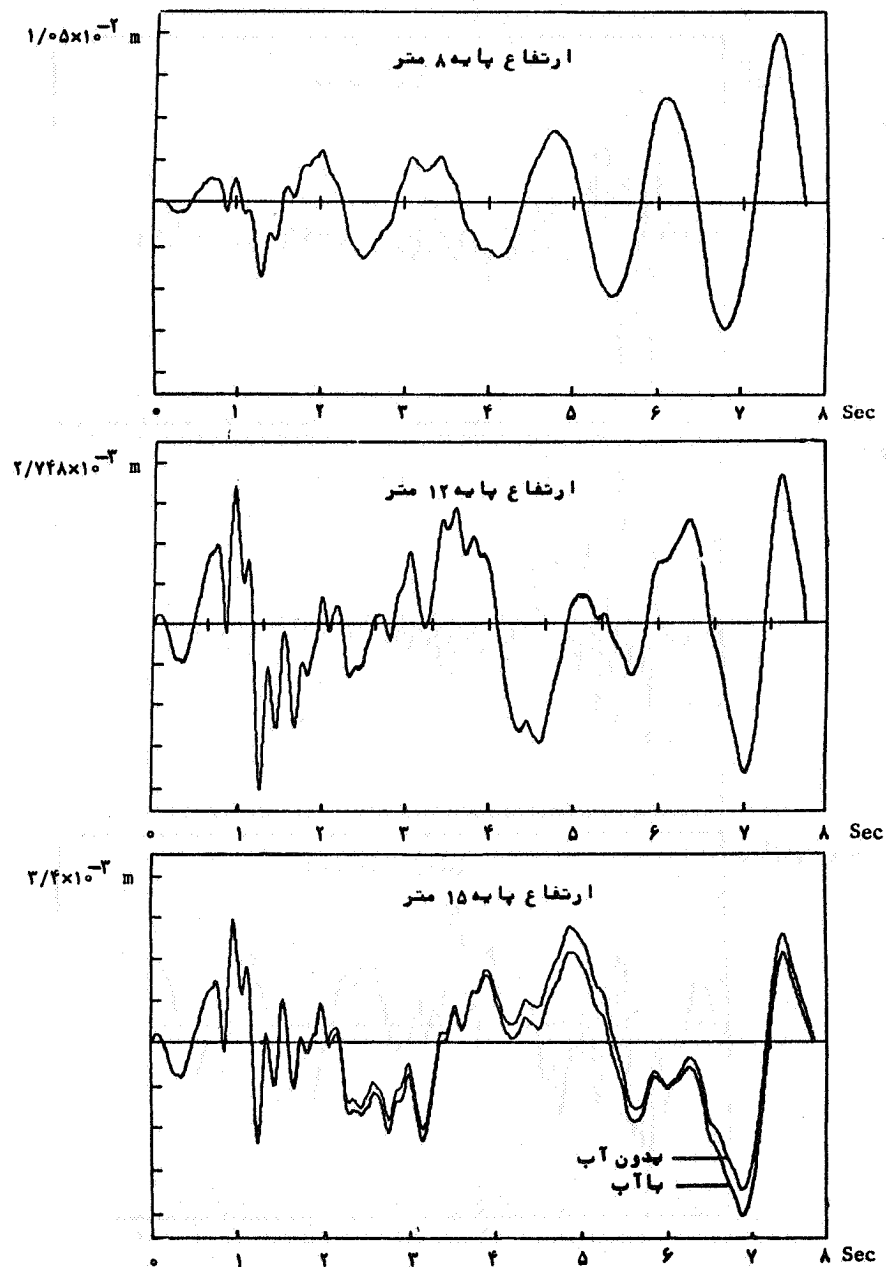
1. Soil-Structure Interaction

رفتا ردینا میکی اسکله‌ها ...

۴۵



شکل ۵- منحنیهای شتاب، سرعت و تغییر مکان زمین برای زلزله مورد بررسی



شکل ۶- منحنی تغییر مکان عرضه در دو حالت با آب و بدون آب بازی ارتفاعهای مختلف پایه

مکان عرضه نسبت به حالت بدون آب می‌شود. بنابراین می‌توان گفت برای این اسکله‌خان اثرات وجود آب اطراف پایه (خصوصاً "برای ارتفاعهای کوتاه پایه) قابل اغماض می‌باشد. بدینهی استنتیجه‌گیری کلی دراین مورد بستگی به مشخصات اسکله دارد.

خلاصه ونتیجه‌گیری:

همانطوریکه بیان شدم سلله اساسی که تحلیل دینا میکی سازه‌ها واقع برپایه‌های عمیق در آب را از تحلیل سازه‌های معمولی جدا می‌سازد، غیر خطی بودن نیروهای هیدرودینا میکی وارد برپایه از یکسو وهمجهت بودن این نیروها با سرعت نسبی بین آب و پایه از سوی دیگر می‌باشد. دراین مقاله، با استفاده از تکنیک اجزاء محدود، مدل مناسبی بصورت مجموعه‌ای از المانهای خمی تیربرای پایه در نظر گرفته شده، سپس با استفاده از توابع شکل و تخمینی از سرعت پایه در هر لحظه بردازی و ربد در جات آزادی در هر لحظه تعریف شده است. معادله‌ای که برای تعیین این نیروها بکار رفته شکل کلی معادله موریسون بوده و برای تعیین مشخصات هیدرودینا میکی امواج از تئوری موج خطی استفاده شده است. بای استفاده از روش عددی شتاب متوسط ثابت، معادلات حرکت حل شده است. برای آنکه بتوان مثالی کاربردی از این مدل ارائه کرد، رفتار دینا میکی اسکله تحت اثر امواج و زلزله مورد بررسی قرار گرفت. برای یک اسکله بخصوص اثرات پریودی موج بر ارتعاش بررسی شد و مطابق انتظار ملاحظه شده شدیدترین واکنش در حالت تشدید، یعنی حالتی که فرکانس موج با فرکانس طبیعی اسکله یکسان باشد، اتفاق می‌افتد. بعلاوه شکل منحنی ارتعاش در حالت تشدید نشانده بروز حالت ضربانی در ارتعاش است. علاوه بر اثرات امواج، واکنش تحت اثر زلزله نیز مورد بررسی قرار گرفت. اثرات وجود آب در اطراف پایه‌ها در ارتعاش اسکله تحت اثر زلزله در حالات مختلف موضوع مورد توجه بوده است. از تنایج حاصل این نظر استنبط می‌شود که هرگاه طول پایه کوتاه باشد وجود آب تاثیر محسوسی در

ارتعاش ندارد، لیکن با افزایش ارتفاع این تا ثیرشیدتر می‌شود. لازم به تذکر است که برای هر سازه مشخص وزلزله خاص، این مطالعه با یدمستقلانجا مشود زیرا علاوه بر شرایط سازه، مشخصات زلزله نظیر محتوای فرکانسی و زمان آن نیز بر رفتار سازه اثر دارد و نتیجه‌گیری فوق فقط در محدوده محدود است. موادی که انجام شده‌کار برداشت و هدف بیان یک نتیجه عمومی نیست. بعلاوه در یک آنالیز و طراحی کامل اسکله، همانطوری که در مقدمه نیز ذکر شد، مسائل کاربردی متعددی مانند طرح اعضاء با توجه به اثرات خستگی، انتخاب موج و شرایط خاص موج در آبها کم‌عمق مطرح است، لیکن چون هدف از این مقاله ارائه معادلات حرکت و بیان روش برای حل این معادلات بوده است از وارد شدن در جزئیات مذکور صرف نظر شد. بدیهی است یا مدل ارائه شده می‌توان هر یک از موارد فوق را بطور اخص مورد بررسی و تحقیق بیشتر قرار داد.

رفتار دینا میکی اسله‌ها ...

۴۹

مراجع:

۱۸. ملک، امیر مسعود، "تحلیل دینا میکی اسله تحت اثر امواج و زلزله"، پایان نامه کارشناسی ارشد انشکده عمران، دانشگاه صنعتی اصفهان، ۱۳۶۶.

1. Morison, J. R., O'Brien, M. P., Johnson, J. W. and Schaaf, S. A., "The Forces Exerted by Surface Waves on Piles", Petroleum Trans., AIME, Vol. 189, pp149-157, 1950.
2. Keulegan, G. H. and Carpenter L. H., "Forces on Cylinders and Plates in an Oscillating Fluid", National Bureau of Standards Report, No. 4821, 1956.
3. Keulegan, G. H. and Carpenter L. H., "Forces on Cylinders and Plates in an Oscillating Fluid", "Journal of Research of the National Bureau of Standards", Vol. 60, No. 5, pp 423-440, 1958.
4. Sarpkaya, T. and Isaacson, M.: Mechanics of Wave Forces on Offshore Structures, Litton Educational publishing, Inc., 1981.
5. Newman, J. N.: Marine Hydrodynamics, MIT press, Camb., Mass, 1977.
6. Stokes, G. G. "On the theory of Oscillatory Waves" Trans. Camb. Phil. Soc, Vol. 8, pp141-455, 1847.

7. Penzien, J., "Structural Dynamics of Fixed Offshore Structures", Proc. First Int. Conf. on the Behaviour of Offshore Structures, Trondheim, Norway, 1, 581-592, 1976.
8. Dao, B. V., and Penzien, J., "Comparison of Treatments of Nonlinear Drag Forces Acting on Fixed Offshore Platforms", J. Applied Ocean Research, 4(2), 66-72, 1982.
9. Anderson, L. and Mattson, B. "Analysis of Offshore Structures With Adina", J. of Computers and Structures Vol. 17, No. 5-6, PP737-748, 1983.
10. Stockard D. M., "Effects of Pile-Soil-Water Interaction on the Dynamic Response of a Seismically Excited Offshore Structure", Offshore Technology Conference, Paper No. OTC 2672, 1976.
11. Liou, D. N. and Penzien, J., "Seismic Analysis of an Offshore Structure Supported on Pile Foundations", Report No. UCB/EERC-77/25, Univ. of California, Berkeley, Nov. 1977.
12. Jain, A. K. and Datta, T. K., "Nonlinear Dynamic Analysis of Offshore Towers in Frequency Domain", Journal of Engineering Mechanics, Vol. 113, No. 4, April, 1987.
13. Quinn, A.: Design and Construction of Ports and Marine

رفتا ردینا میکی اسکله ها ...

۵۱

Structures", Mcgraw-Hill Book Company, Second Edition,
1972.

14. Dawson, T. H.: "Offshore Structural Engineering", Prentice-Hall INC. New Jersey, 1983.
15. Blaney, G. W., Kausel, E. and Rosset J. M., "Dynamic Stiffness of Piles", Proceedings of the 2nd International Conference on Numerical Methods in Geomechanics, Virginia, June 1976.
16. Bathe, K-J. and Wilson, E. L.: "Numerical Methods in Finite Element", Prentice-Hall Inc., New Jersey, 1976.
17. Clough, R. W. and Penzien, J.: "Dynamics of Structures", McGraw-Hill Book Company, 1975.
19. Petrovski, J., "Corrected Accelerograms and Ground Velocity and Displacement Curves for Selected Strong Motion Records Taken in Elasmam, Algeria", Institute of Earthquake Engineering and Engineering Seismology, University" Kiril and Metodij" - Skopje, 1981.